

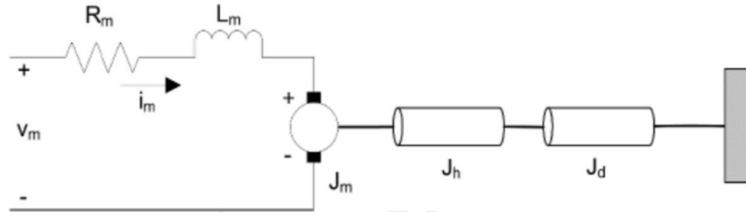
# 自控实验报告

- 小组成员：

## 1 建模

### 1.1 公式推导

如图的电机



如果认为电感远小于电阻，得到

$$V_m(t) - R_m i_m(t) - e_b(t) = 0$$

其中  $e_b(t) = K_e w_m(t)$  是电机的电压，右边是反电动势常数和电机转速，带入对上式进行 Laplace 变换，得到

$$I_m(s) = \frac{V_m(s) - K_e W_m(s)}{R_m} \quad (1-1)$$

又知电机的转速与负载质量和输出扭矩的关系是

$$J_{eq} \dot{w}_m(t) = K_t i_m(t) \Rightarrow J_{eq} s W_m(s) = K_t I_m(s) \quad (1-2)$$
$$J_{eq} = J_m + J_h + J_d, \quad J = \frac{1}{2} m r^2$$

联立式(1-1)和(1-2)得到转速关于电压的传递函数

$$\frac{W_m(s)}{V_m(s)} = \frac{\frac{1}{K_e}}{\frac{J_{eq} R_m}{K_e K_t} s + 1} \quad (1-3)$$

若输入电压为阶跃信号，即  $V(t) = A u(t)$ ，得到转速的阶跃响应

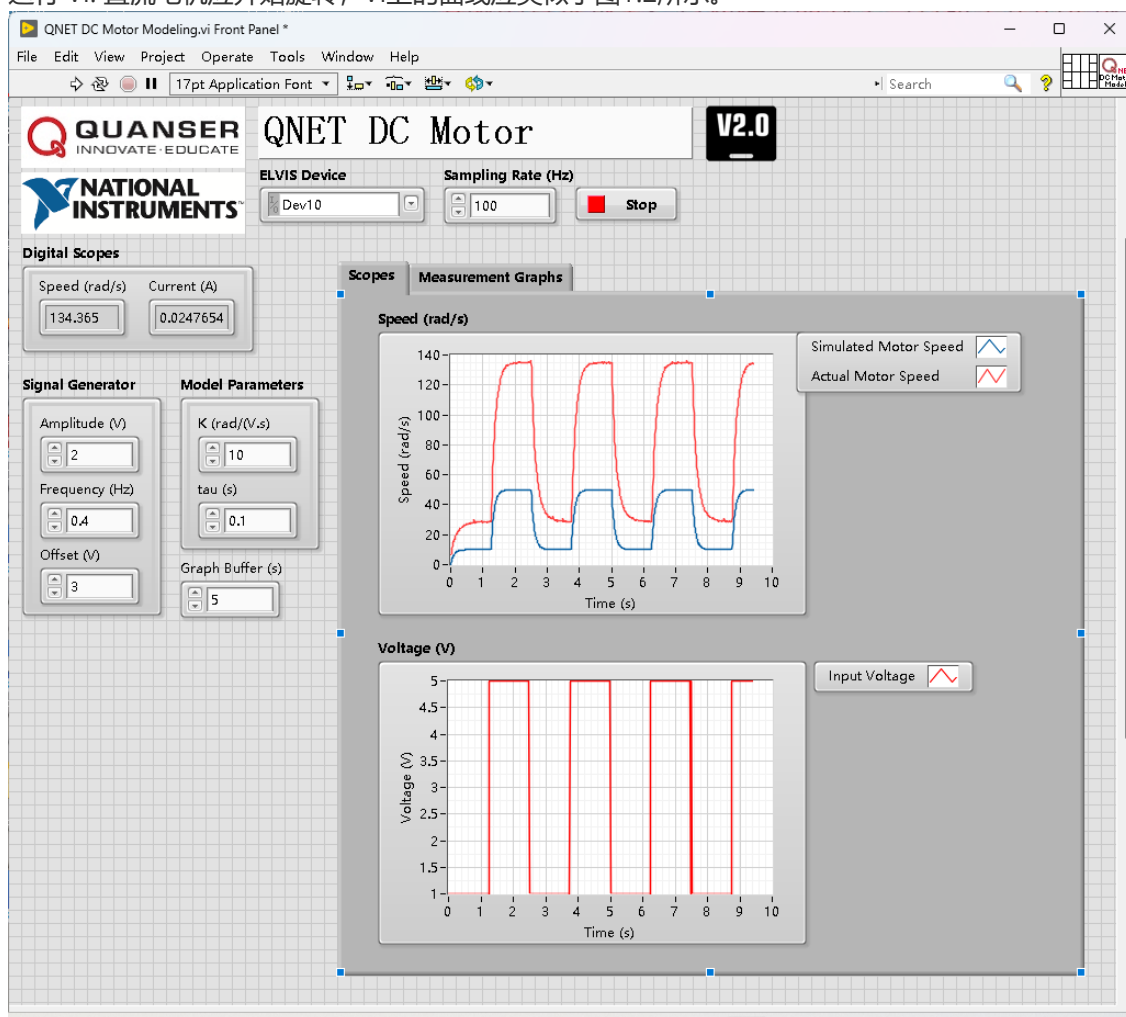
$$W_m(s) = \frac{A}{K_e} \cdot \frac{1}{s} - \frac{A}{K_e} \cdot \frac{1}{s + \frac{K_e K_t}{J_{eq} R_m}} \quad (1-4)$$

$$w_m(t) = \frac{A}{K_e} u(t) - \frac{A}{K_e} e^{-\frac{K_e K_t}{J_{eq} R_m} t} u(t) \quad (1-5)$$

## 1.2 实验结果

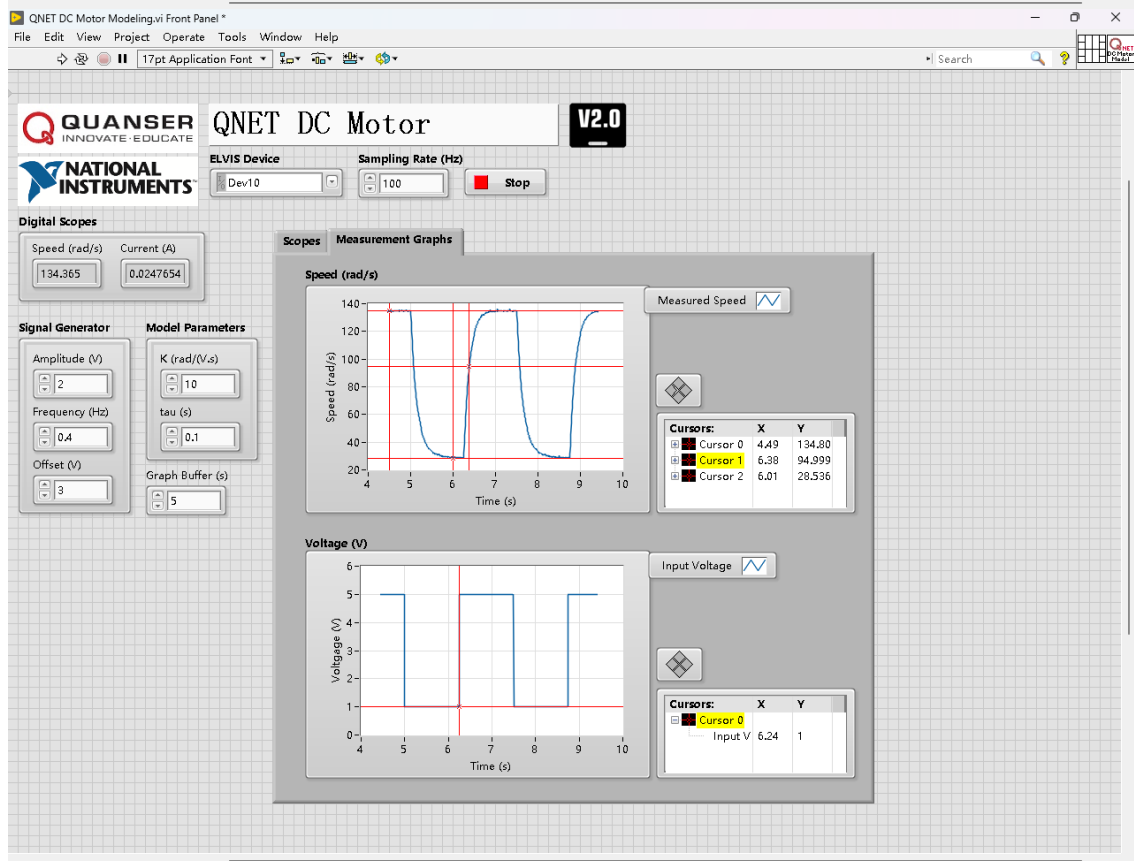
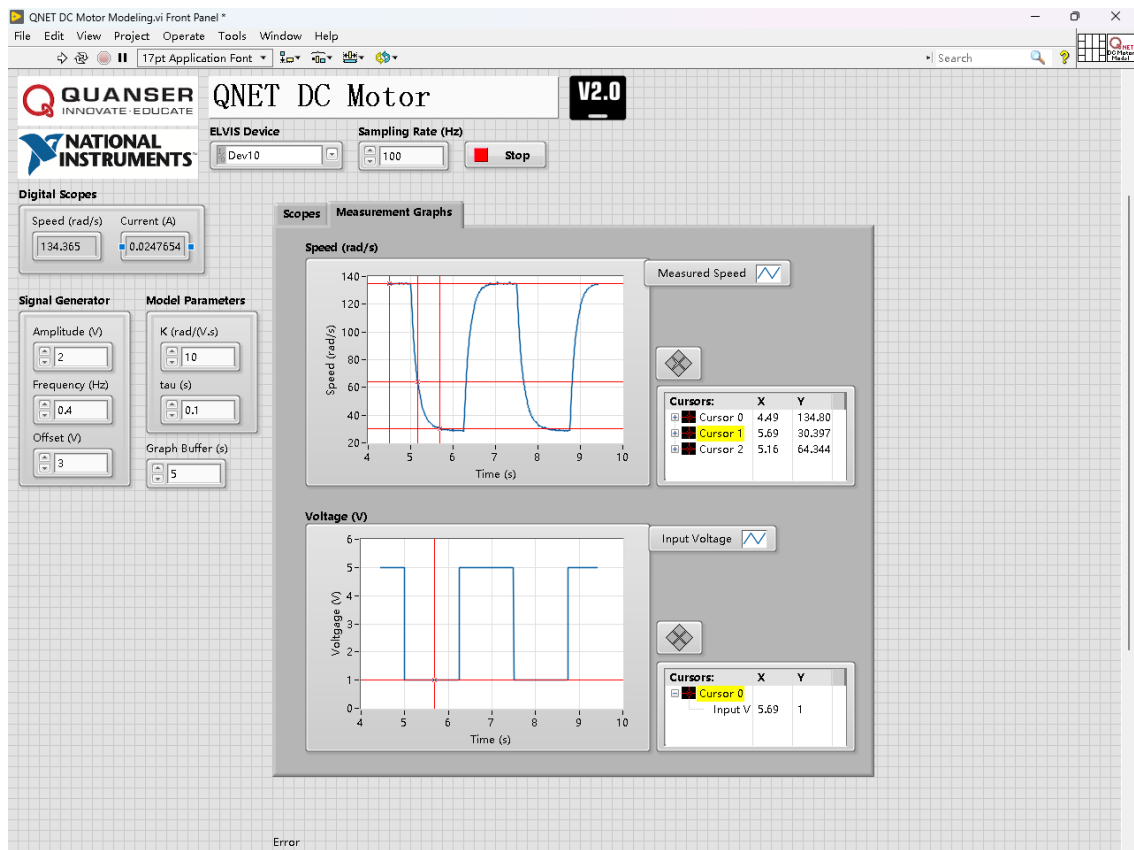
### 2.1 阶跃响应测试

1. 确保QNET DC Motor Modeling.vi 打开。确保选择了正确的设备 Device。
2. 运行 VI。直流电机应开始旋转，VI上的曲线应类似于图1.2所示。



### 3. 对信号发生器 Signal Generator 部分的设置

- 振幅Amplitude (V) = 2.0
  - 频率Frequency (Hz) = 0.40
  - 偏移量Offset (V) = 3.0
4. 当获取得到一个完整阶跃响应曲线时，点击停止Stop按钮来停止VI运行。
  5. 粘贴速度 Speed (rad/s)和电压 Voltage (V) 图中的响应
  6. 选择实测图形 Measurement Graphs选项以查看实际响应，如图 1.3所示。
- 稳态增益和时间常数的测量如图：



## 7. 稳态增益

$$K = \frac{\Delta y}{\Delta u} = \frac{134.80 - 28.536}{5 - 1} = 26.6$$

## 8. 时间常数

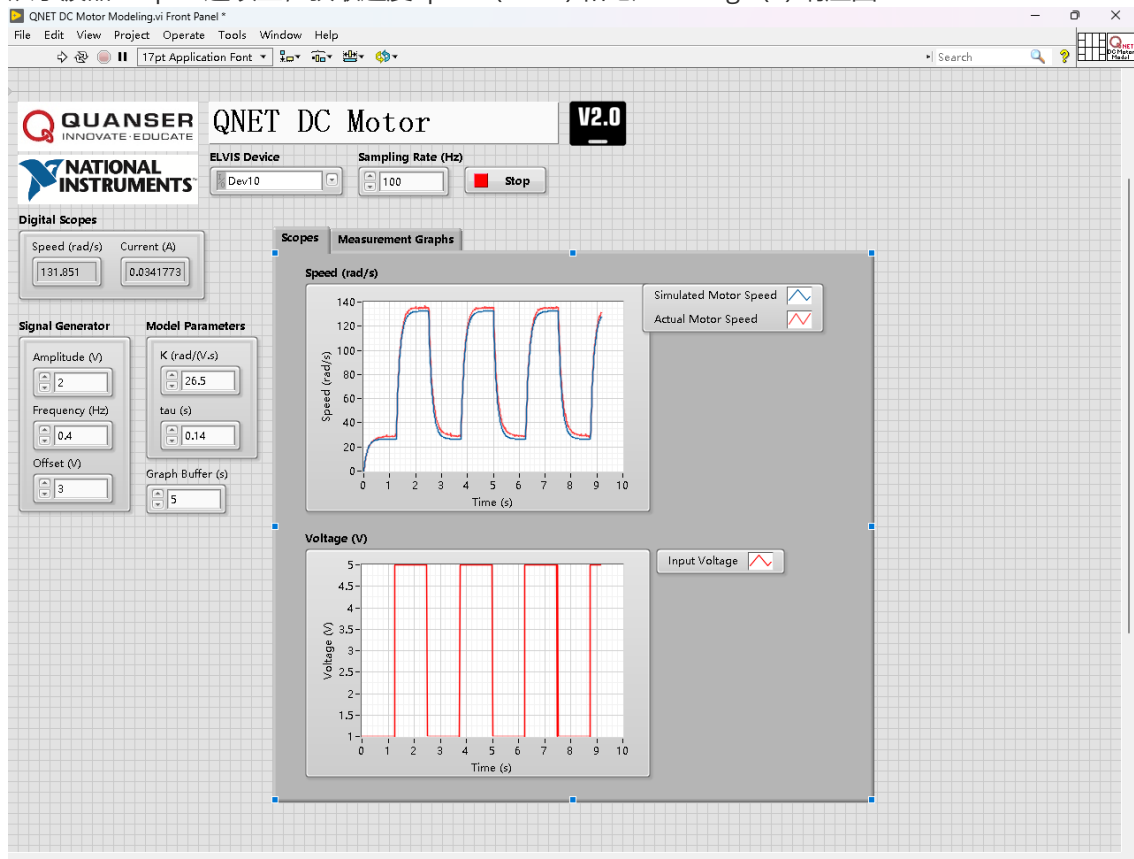
$$y(t_1) = 0.632y_{ss} + y_0 = 0.632 * 106.264 + 28.536 = 95.695$$

由于精度限制,  $t_1$  大约为 6.38

$$\tau = 6.38 - 6.24 = 0.14s$$

## 2.2 模型验证

1. 打开 QNET DC Motor Modeling.vi. 确保选择了正确的设备 Device
2. 运行 VI。可以听到直流电机开始运行，VI上的示波器显示如图1.2所示
3. 信号发生器Signal Generator 参数设置：
  - 振幅Amplitude (V) = 2.0
  - 频率Frequency (Hz) = 0.40
  - 偏移量Offset (V) = 3.0
4. 在VI的模型参数 Model Parameters 部分中，输入阶跃响应测试实验室中得出的模型参数K 和 $\tau$ 。  
蓝色的仿真曲线应该与红色的电机实测速度曲线很接近
5. 从示波器Scopes 选项上，获取速度Speed (rad/s) 和电压 Voltage (V) 响应图



6. 所建模型表达实际系统的效果有怎样? 如果它们不匹配，请分析此差异的可能来源

效果较好，模拟曲线的响应时间与实际情况极为接近，但稳态情形下两者有绝对误差，实际曲线类似将蓝色曲线整体上移，可能的原因是：

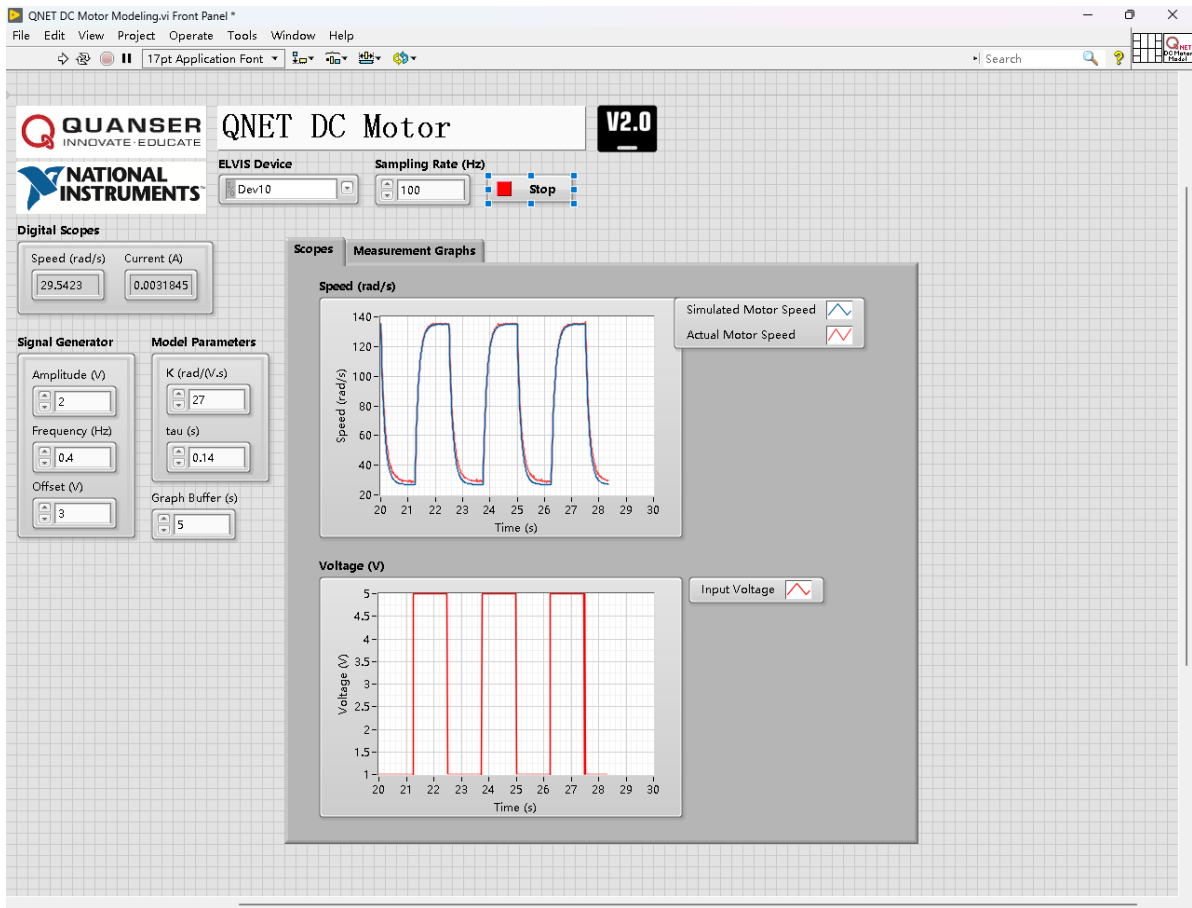
- (1)参数估计误差。K（增益）和 $\tau$ （时间常数）的估计不完全准确
- (2)模型简化与实际系统的差异。在实际电机中，可能会存在一些在模型中未考虑的影响因素。例如，电机的非线性行为、磁饱和效应、摩擦力、以及电机与负载之间的耦合等都可能对稳态响应产生影响。仿真模型通常会做出简化假设，这可能导致稳态误差。
- (3)其他误差例如，电源和信号发生器的稳定性误差，实际负载可能与理想负载不完全相同，传感器测量误差等

以上的误差都有可能导致实际响应曲线相对于模拟结果整体上移。

7. 调整模型参数 Model Parameters部分中的稳态增益K 和时间常数 $\tau$ ，使仿真曲线更好地匹配实际系统，并记下其值

$$k = 27$$

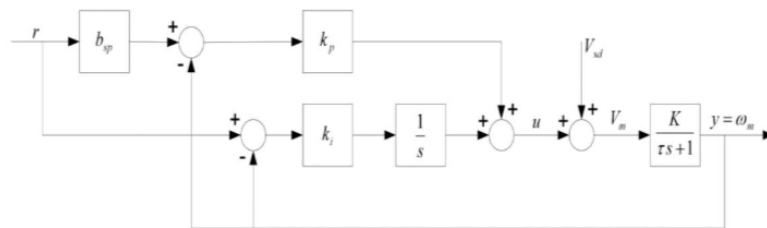
$$\tau = 0.14s$$



## 2 比例积分速度控制

### 2.1 公式推导

系统框图如下图



在无扰动条件下，即  $V_{sd} = 0$  时，系统的传递函数为

$$H(s) = \frac{W_m(s)}{R(s)} = K \cdot \frac{(b_{sp}k_p s + k_i)}{\tau s^2 + (Kk_p + 1)s + Kk_i} \quad (2-1)$$

使用梅逊公式，该系统的前向通路是

$$P_1 = b_{sp}k_p \frac{K}{\tau s + 1}, \quad P_2 = k_i \frac{1}{s} \frac{K}{\tau s + 1}$$

回路是

$$L_1 = -k_p \frac{K}{\tau s + 1}, \quad L_2 = -k_i \frac{1}{s} \frac{K}{\tau s + 1}$$

二者相互接触，且分别和  $P_1, P_2$  接触，那么  $\Delta$  为

$$\Delta = 1 + k_p \frac{K}{\tau s + 1} + k_i \frac{1}{s} \frac{K}{\tau s + 1}$$

$$\Delta_1 = \Delta_2 = 1$$

系统的传递函数为  $\frac{W_m(s)}{R(s)} = \frac{P_1 \Delta_1 + P_2 \Delta_2}{\Delta}$ ，带入即可

对于这个二阶系统，刻画系统的数学量为

$$\omega_n = \sqrt{\frac{K k_i}{\tau}} \quad (2-2)$$

$$\zeta = \frac{K k_p + 1}{2\sqrt{K k_i \tau}} \quad (2-3)$$

## 2.2 实验练习

改变  $k_p$  变化产生的性能差异

当  $k_p$  减小时，比例控制的作用减小，系统的响应速度变慢，但是振荡会减小，超调量更小，稳定性提高；当其增大时变化相反，系统的振荡和超调量更大，但是响应更快，稳定性不太好说，应该是降低的。

计算当  $\zeta = 0.75$ ,  $\omega_0 = 16.0 \text{ rad/s}$  时的峰值时间  $t_p$  和最大过调量  $M_p$

$$\text{峰值时间 } t_p = \frac{\pi}{\omega_d} = \frac{\pi}{\omega_n \sqrt{1-\zeta^2}} = 0.297 \text{ s}$$

$$\text{最大过调量 } M_p = e^{-\frac{\pi \zeta}{\sqrt{1-\zeta^2}}} \times 100\% = e^{-\frac{\pi \cdot 0.75}{\sqrt{1-0.75^2}}} \times 100\% = 2.84\%$$

稳态增益  $K = 26 \text{ rad/V/s}$ ，时间常数  $\tau = 0.145 \text{ s}$ ，在满足上题的指标下，计算比例和微分控制增益  $k_p, k_i$

$$\omega_n = \sqrt{\frac{K k_i}{\tau}}, \zeta = \frac{K k_p + 1}{2\sqrt{K k_i \tau}}, \text{ 带入得到 } k_i = 1.43 \text{ V/rad}, k_p = 0.0955 \text{ V} \cdot \text{s/rad}$$

增加  $\zeta$  对实测的速度响应有什么影响？控制增益怎么样？

当  $\zeta$  增大时，上升时间**变大**，峰值时间**不变**，最大过调量**减小**，调整时间**减小**。

**响应速度变慢**，但是系统变得稳定。控制增益  $k_p$  **变大**， $k_i$  **不变**。

增加  $\omega_n$  对实测的速度响应有什么影响？控制增益怎么样？

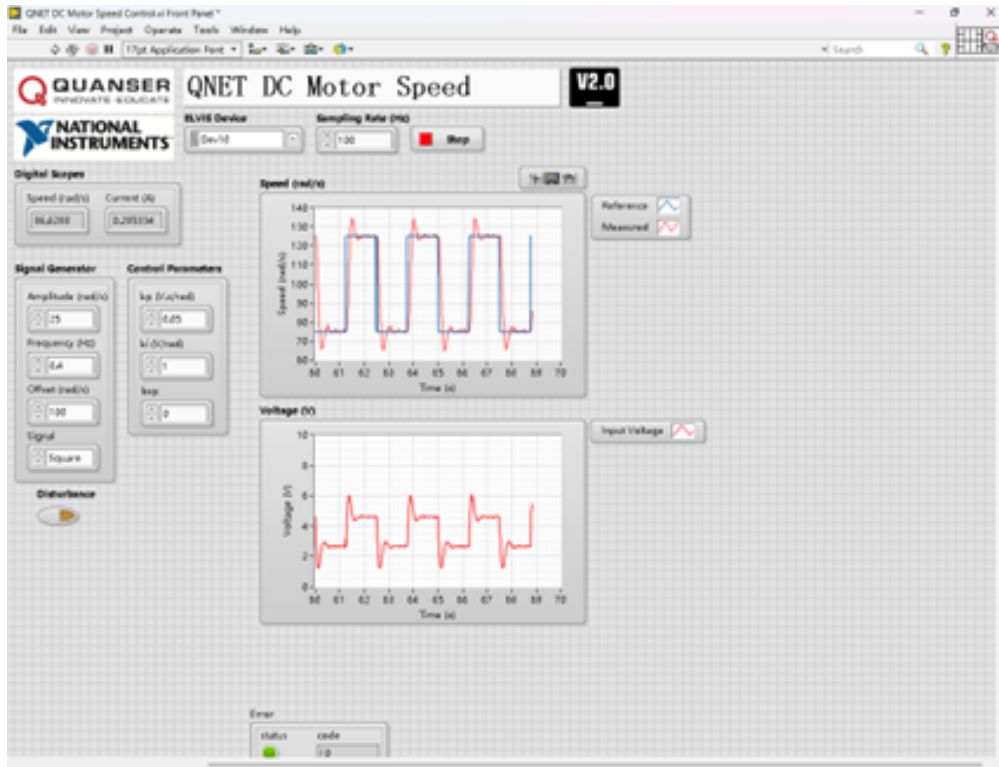
当  $\omega_n$  增大时，上升时间**减小**，峰值时间**减小**，最大过调量**不变**，调整时间**减小**。

**响应速度变快**。控制增益  $k_p$  **增大**， $k_i$  **增大**。

## 2.3 实验结果

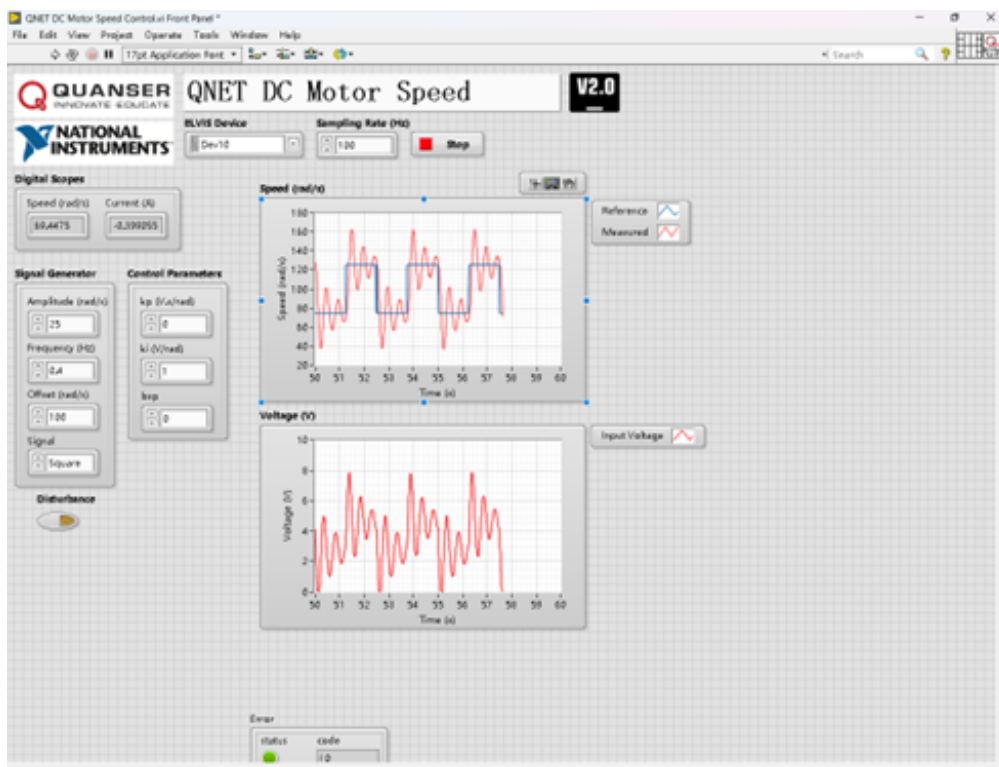
### 2.3.1 定性的比例积分速度控制

设置默认参数下，得到参考速度（蓝色）与实测速度（红色）曲线如下：

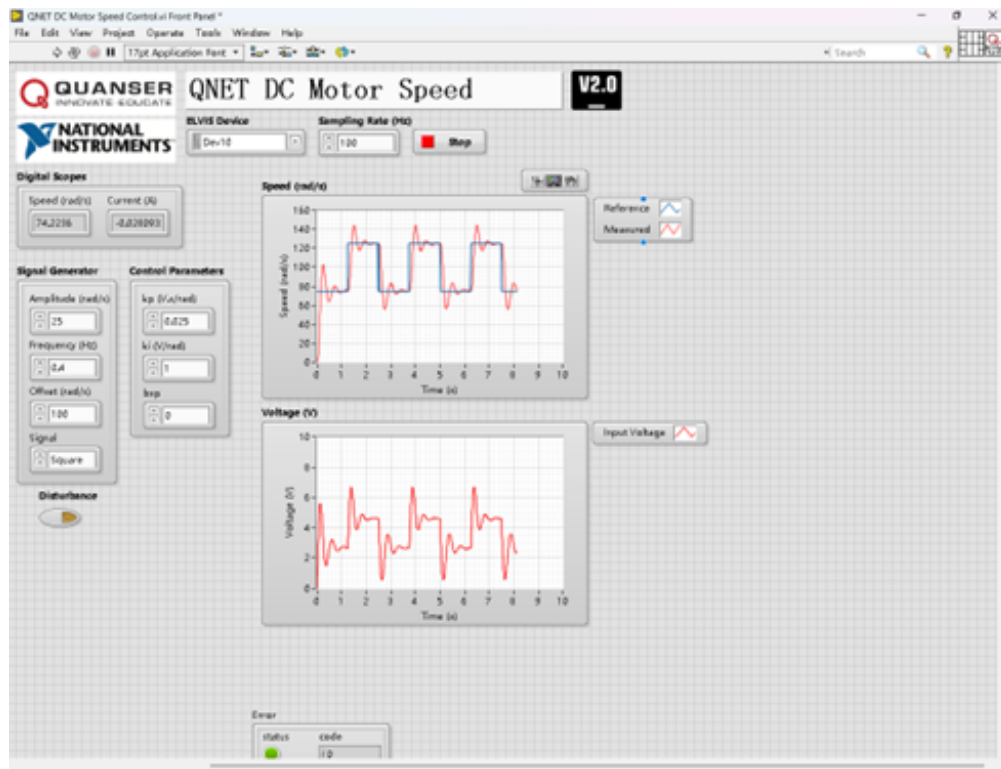


可见实测速度曲线与参考速度曲线趋势一致，但是在上升沿后与下降沿后出现明显的超调现象，随后再振荡趋于稳定值。这是由于积分控制具有一定的滞后性，当输入方波响应时其骤变导致误差突然增大，积分控制器需要一定的时间进行误差积累故导致明显的超调现象；但是随后误差会被逐渐消除

保持 $k_i$ 固定，改变 $k_p$ 的值：



$k_p=0$

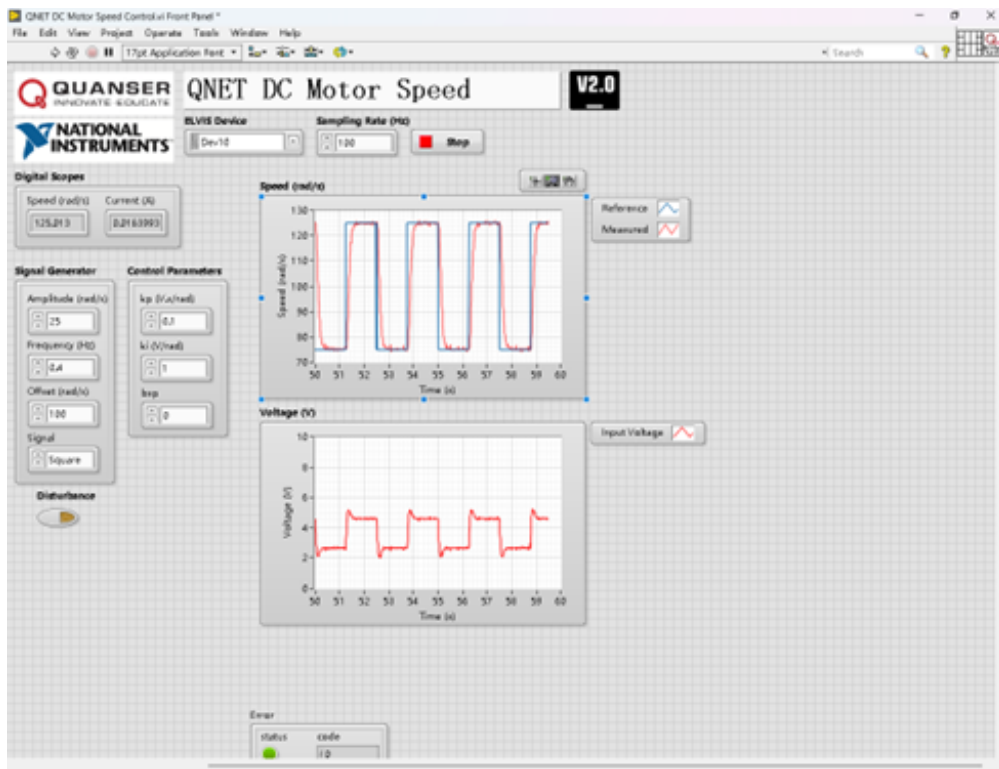


$k_p=0.025$

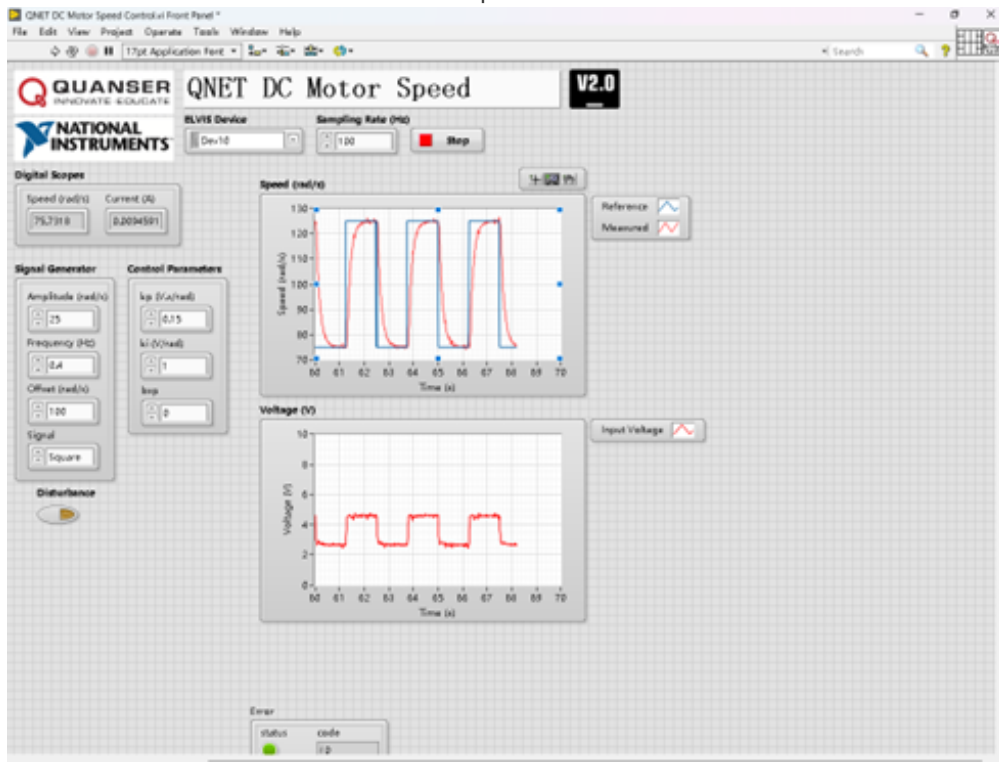


$k_p=0.075$





kp=0.1



kp=0.15

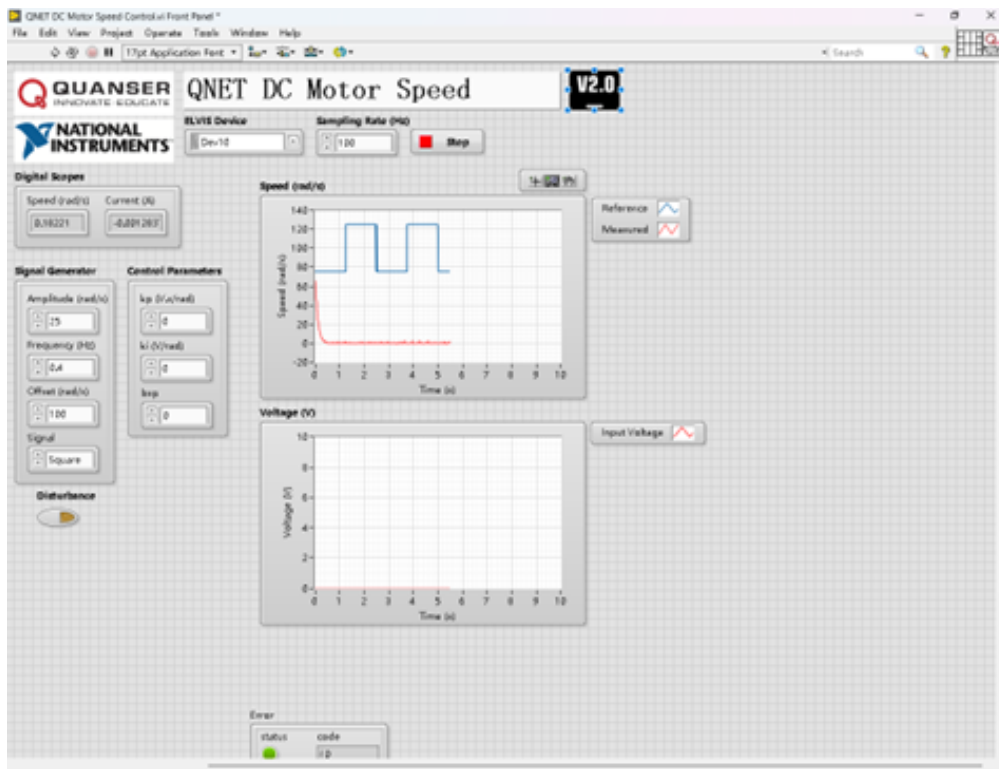
观察到ki固定时，随着kp增大，系统的振荡现象逐渐减小直至几乎消失，达到稳定所需时间逐渐增大，标志着系统从欠阻尼状态变为过阻尼状态。这是由于系统的参数：

$$\omega_n = \sqrt{\frac{Kk_i}{\tau}}$$

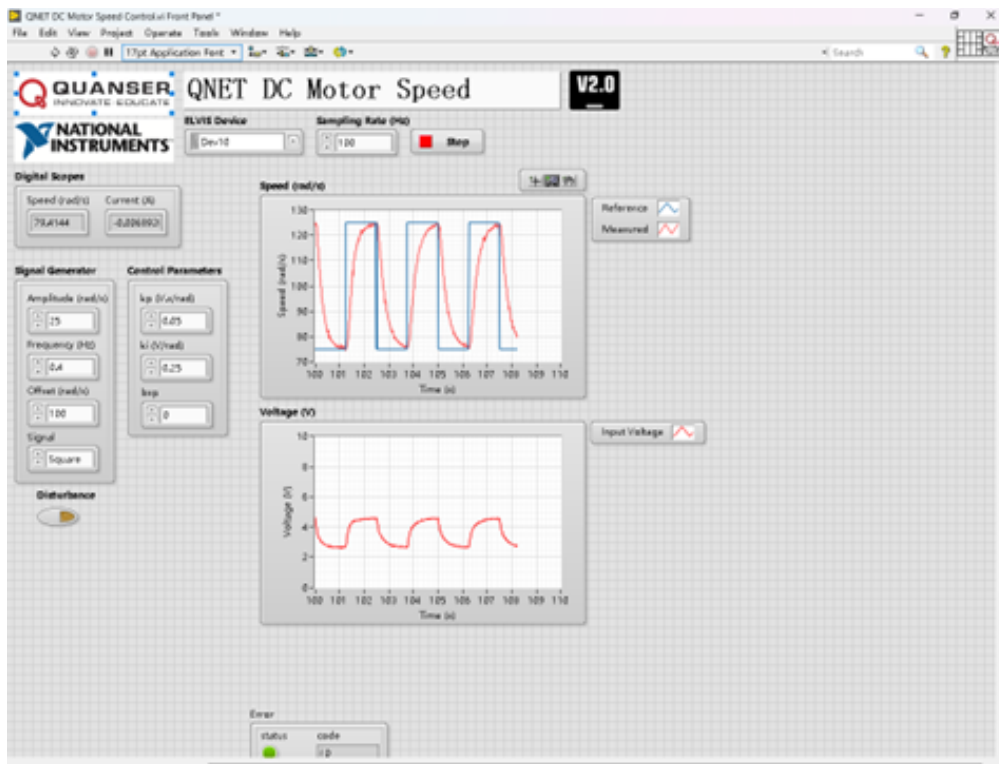
$$\zeta = \frac{Kk_p + 1}{2\sqrt{Kk_i}\tau}$$

阻尼系数随着kp的增大而增大，而自然频率不变，导致了系统性能的变化。

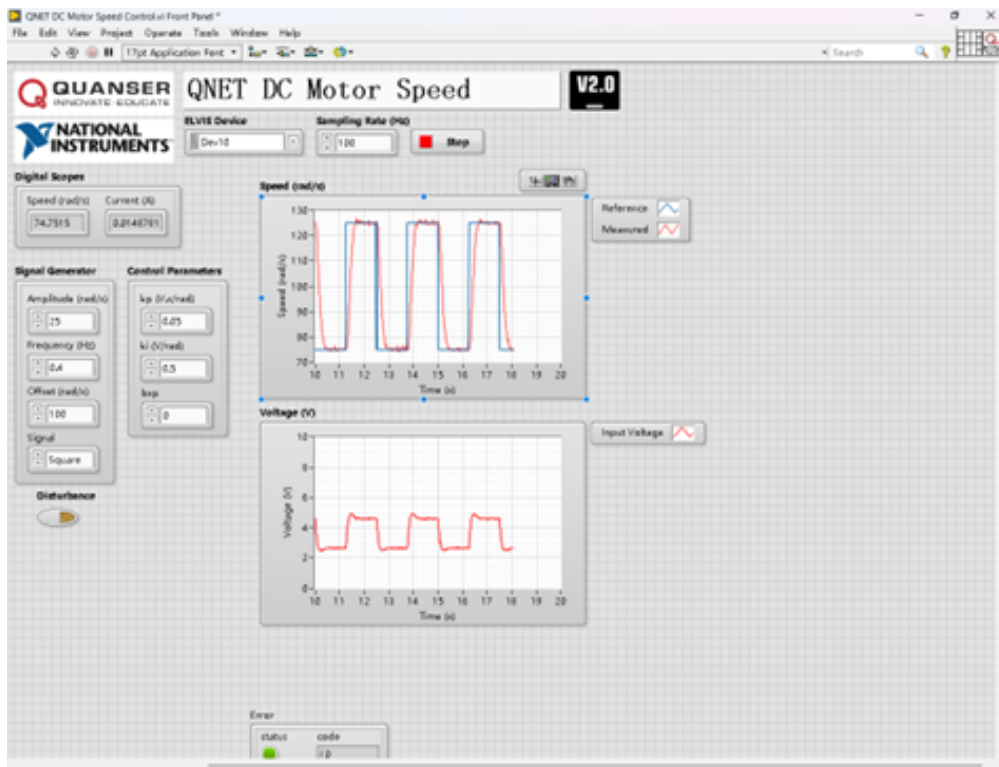
随后设置kp = ki = 0, 观察到电机停止转动



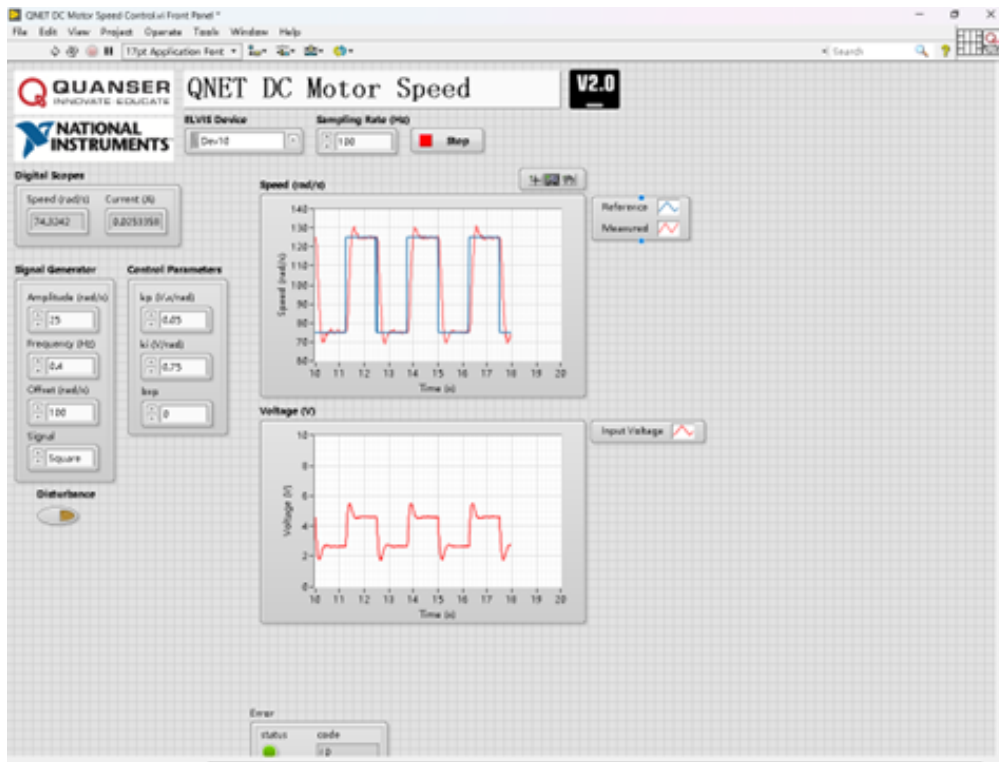
保持 $k_p = 0.05$ , 改变 $k_i$ , 观察到如下现象



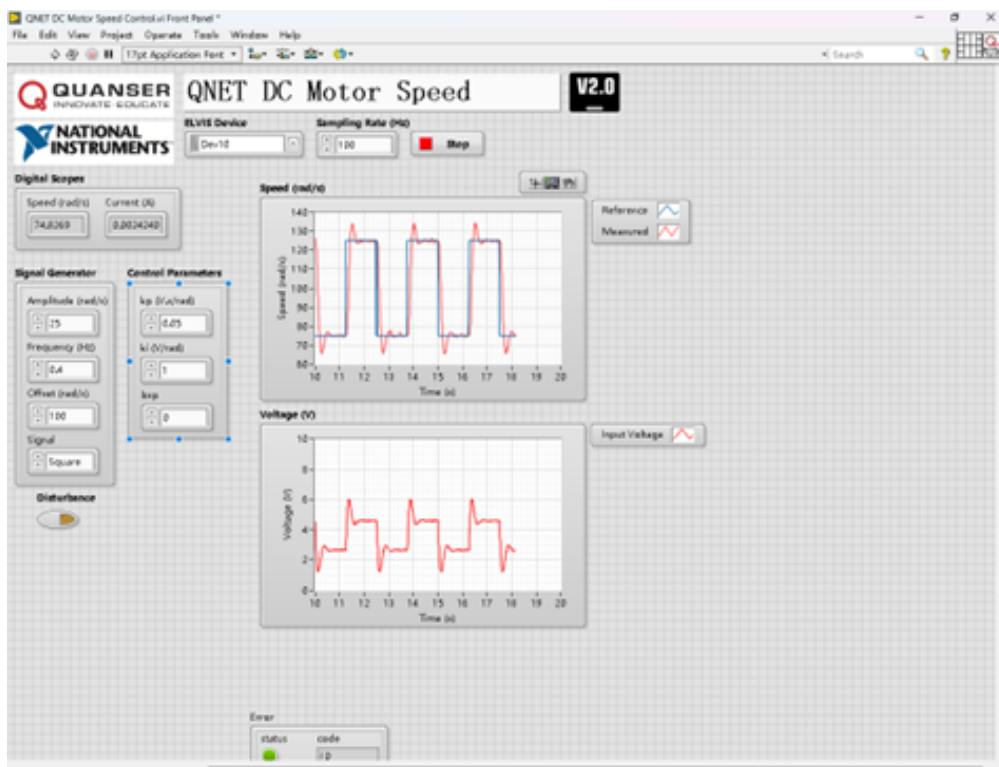
$k_i=0.25$



$k_i=0.5$



$k_i=0.75$



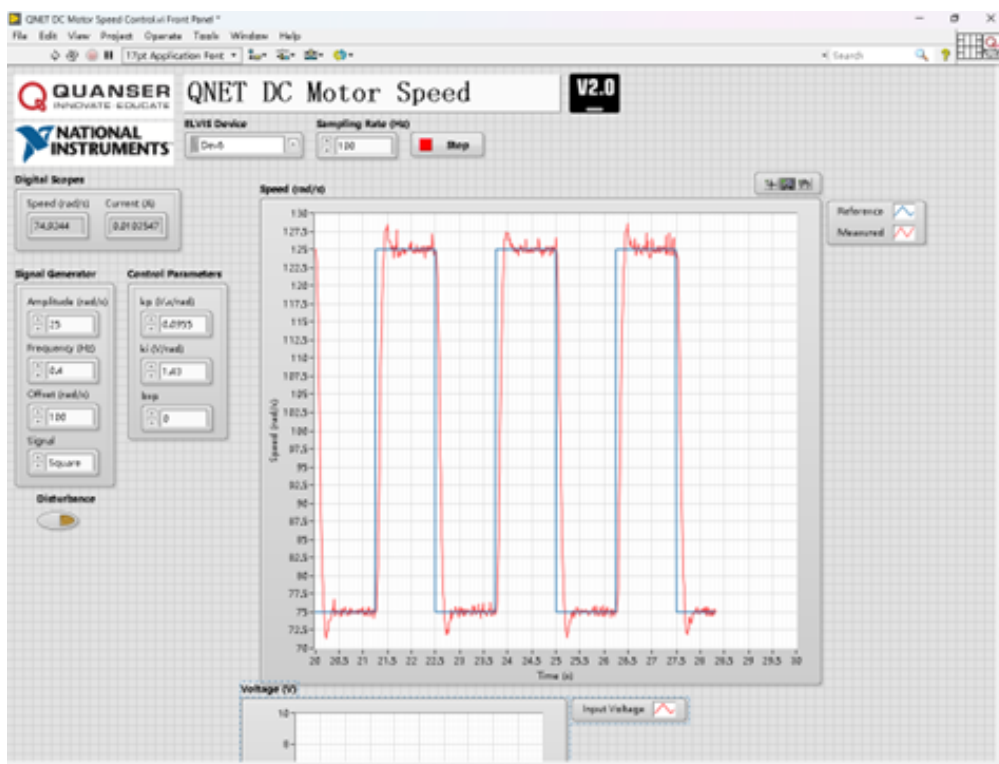
$k_i=1$

观察到，当 $k_i$ 较低时，系统呈过阻尼状态，响应速度较慢但是无明显超调现象；反之，当 $k_i$ 较大时，系统呈欠阻尼状态，相应速度快但是出现明显的超调现象。这同样可以用系统的参数解释：阻尼系数随 $k_i$ 增大而减小，而自然频率则随 $k_i$ 增大而增大

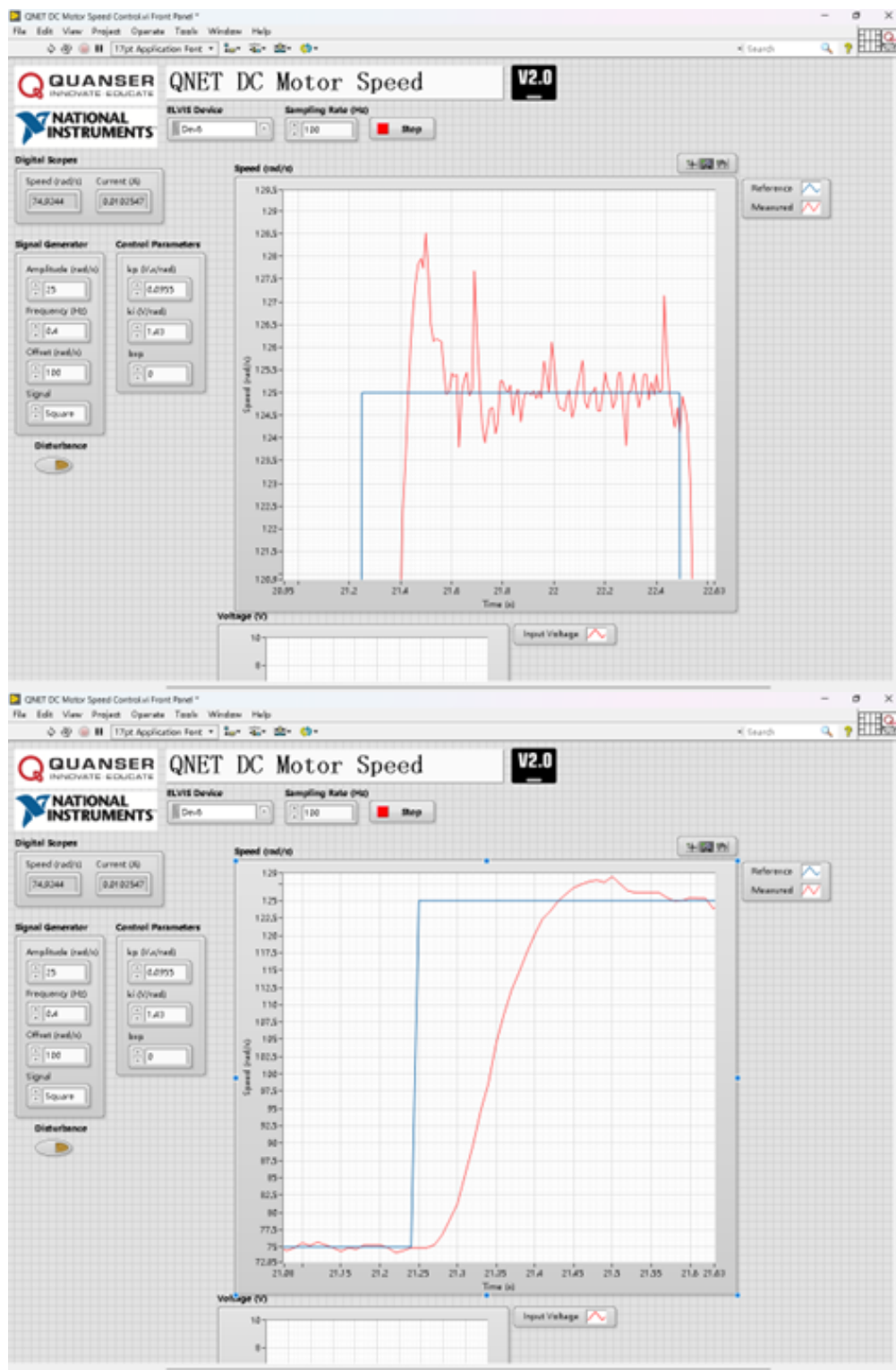
## 2.4.1 满足指标的PI速度控制

当 $\zeta = 0.75, \omega_0 = 16 \text{ rad/s}$ 时，得到 $t_p = 0.297 \text{ s}, M_p = 2.84$ ；此时规定  
 $K = 26 \text{ rad}/(\text{V} \cdot \text{s}), \tau = 0.145 \text{ s}$ ，得到 $k_i = 1.43 \text{ V}/\text{rad}, k_p = 0.0955 (\text{V} \cdot \text{s})/\text{rad}$

在此参数条件下，得到曲线

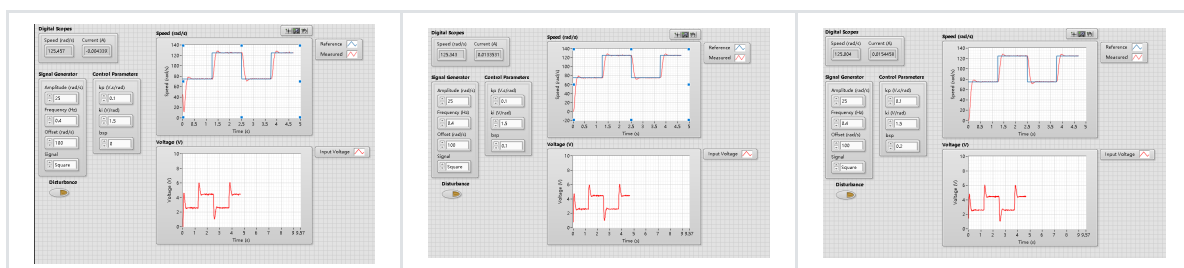


放大测量峰值时间和超调量百分比

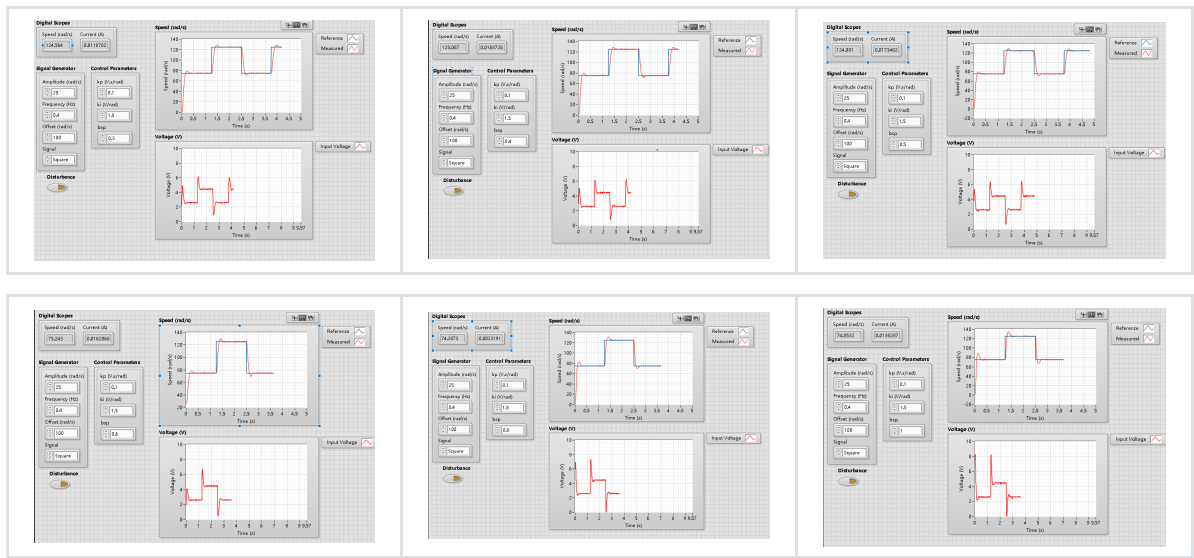


从图中读数得：峰值时间约0.23s, 最大过调量约 2.8%，基本符合指标要求

保持 $k_i = 1.5$ ,  $k_p = 0.1$ 不变, 改变 $k_{sp}$ 的值从0~1, 步长为0.1, 得到结果如下:





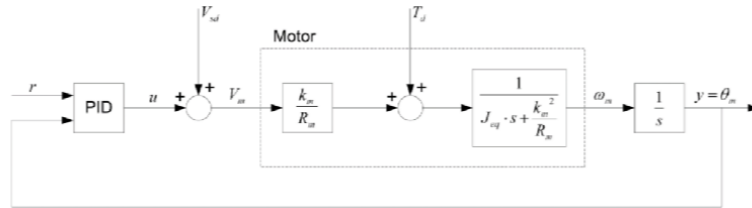


观察到，随着bsp的逐渐增大,系统的超调量逐渐增大，但是响应速度也增快。

## 3 比例微分速度控制

### 3.1 公式推导

系统框图如下



只考虑PD控制的作用下

$$U(s) = PID(R(s), Y(s)) = k_p (b_{sp}R(s) - Y(s)) + k_d s(b_{sd}R(s) - Y(s))$$

在无扰动的条件下，即 $V_{sd} = 0, T_d = 0$ 时，系统的传递函数为

$$H(s) = \frac{\Theta_m(s)}{R(s)} = \frac{k_m(k_p b_{sp} + k_d b_{sd} s)}{R_m J_{eq} s^2 + (k_m k_d + k_m^2) s + k_m k_p} \quad (3-1)$$

$$\text{其中 } \tau = \frac{R_m J_{eq}}{k_m^2}, K = \frac{1}{k_m}$$

相应的刻画系统特征的数学量为

$$\omega_n = \sqrt{\frac{k_m k_p}{R_m J_{eq}}} \quad (3-2)$$

$$\zeta = \frac{k_m k_d + k_m^2}{2\sqrt{R_m J_{eq} k_m k_p}} \quad (3-3)$$

## 3.2 实验练习

计算当 $\zeta = 0.60$ ,  $\omega_0 = 25.0\text{rad/s}$ 时的峰值时间 $t_p$ 和最大过调量 $M_p$

$$\text{峰值时间 } t_p = \frac{\pi}{\omega_d} = \frac{\pi}{\omega_n \sqrt{1-\zeta^2}} = 0.157\text{s}$$

$$\text{最大过调量 } M_p = e^{-\frac{\pi\zeta}{\omega_d}} \times 100\% = e^{-\frac{\pi\zeta}{\sqrt{1-\zeta^2}}} \times 100\% = 9.49\%$$

稳态增益 $K = 26\text{V/rad}$ , 时间常数 $\tau = 0.145\text{s}$ , 在满足上题的指标下, 计算比例和微分控制增益 $k_p, k_d$

$$\omega_n = \sqrt{\frac{Kk_p}{\tau}}, \zeta = \frac{k_d + 1/K}{2\sqrt{\frac{\tau k_p}{K}}}, \text{ 带入得到 } k_p = 3.49\text{rad/s/V}, k_d = 0.129\text{rad/V}$$

更改 $\zeta$ 对测量的位置响应和产生的控制增益有什么影响

更改 $\zeta$ 会对响应曲线的形状产生显著的影响, 这里假定 $\zeta < 1$ 。当 $\zeta$ 减小时, 上升时间**减小**, 峰值时间**不变**, 最大过调量**增大**, 调整时间**增大**; 当 $\zeta$ 大于1时, 系统变成过阻尼, 响应太慢, 一般不会在这个区间内。

对于位置响应, 响应**变快**, 但是**更不稳定**; 对于控制增益,  $k_p$ **增加**,  $k_d$ **减小**。这是在 $\zeta$ 减小的情况下而言的。

更改 $\omega_n$ 对测量的位置响应和产生的控制增益有什么影响

更改 $\omega_n$ 也会对响应曲线造成影响, 当 $\omega_n$ 减小时, 上升时间**增大**, 峰值时间**增大**, 最大过调量**不变**, 调整时间**增大**。

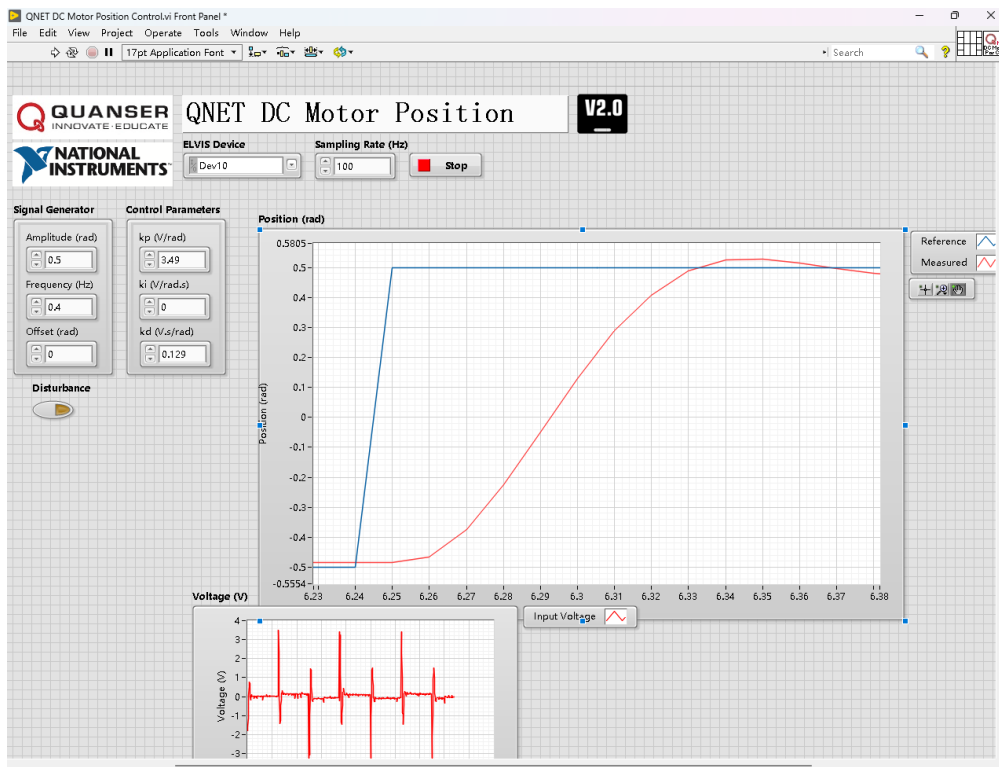
对于位置响应, 响应**变慢**, 但是**变得稳定**; 对于控制增益,  $k_p$ **减小**,  $k_d$ **不变**。这是在 $\omega_n$ 减小的情况下而言的。

设置 $k_p = 1.5\text{V/rad}$ , 仅用比例增益, 描述系统对阶跃输入的稳态误差

$R(s) = \frac{1}{s}, k_d = 0$ , 利用终值定理得到 $y_s(\infty) = 1$ , 稳态误差为0

## 3.3 实验结果

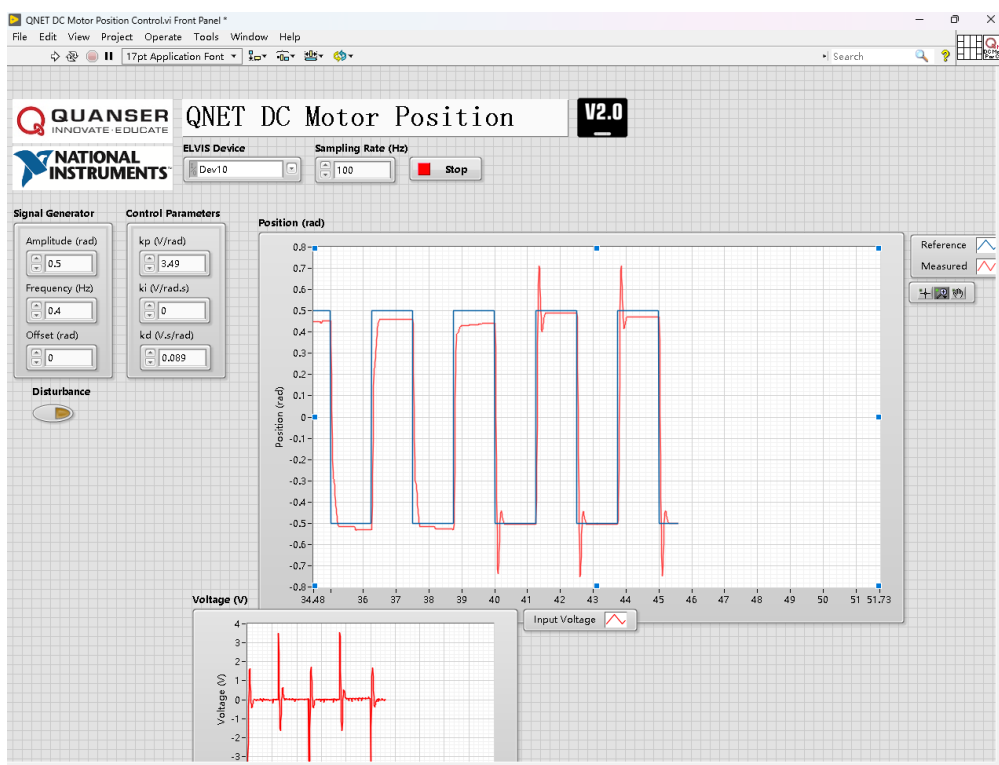
测量实际位置响应的峰值时间和超调量



可以测出峰值时间为0.095s，超调量为0.5%，完全符合要求

更改 $\zeta$ 对位置响应和控制增益的影响

通过逐渐减小 $k_d$ 来减小 $\zeta$ ，得到的结果如下

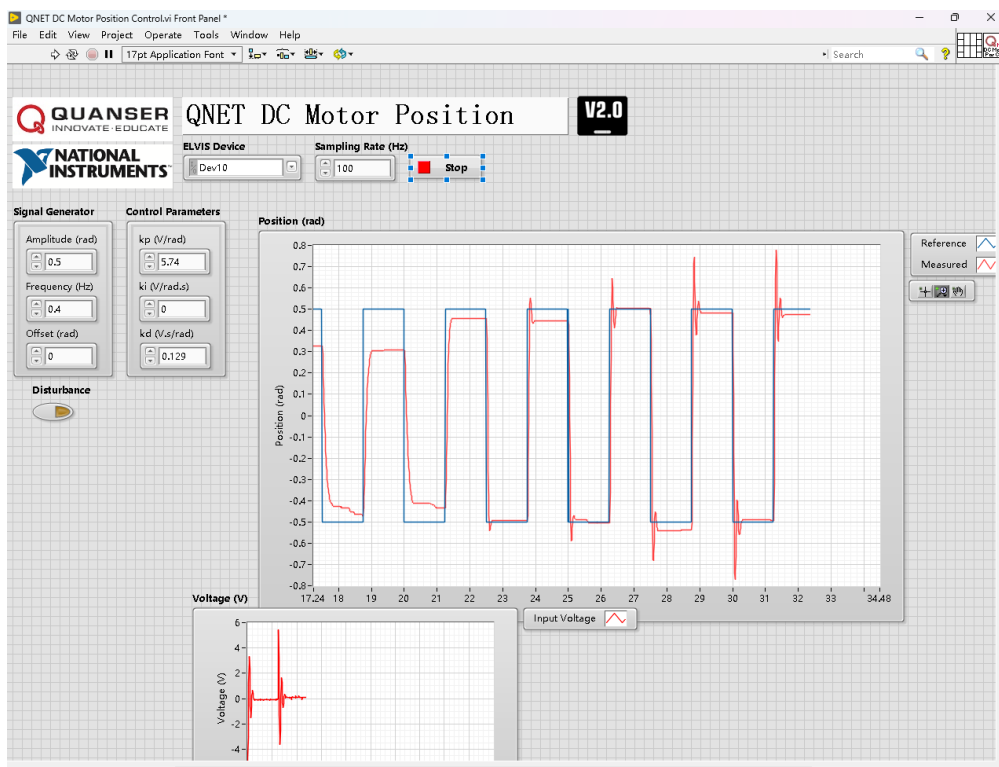


可以发现从过阻尼过渡到了欠阻尼，上升时间是减小了，但是最大超调量增大且峰值时间不变

更改 $\omega_n$ 对位置响应和控制增益的影响

通过逐渐增大 $k_p$ 来增大 $\omega_n$ ，得到的结果如下

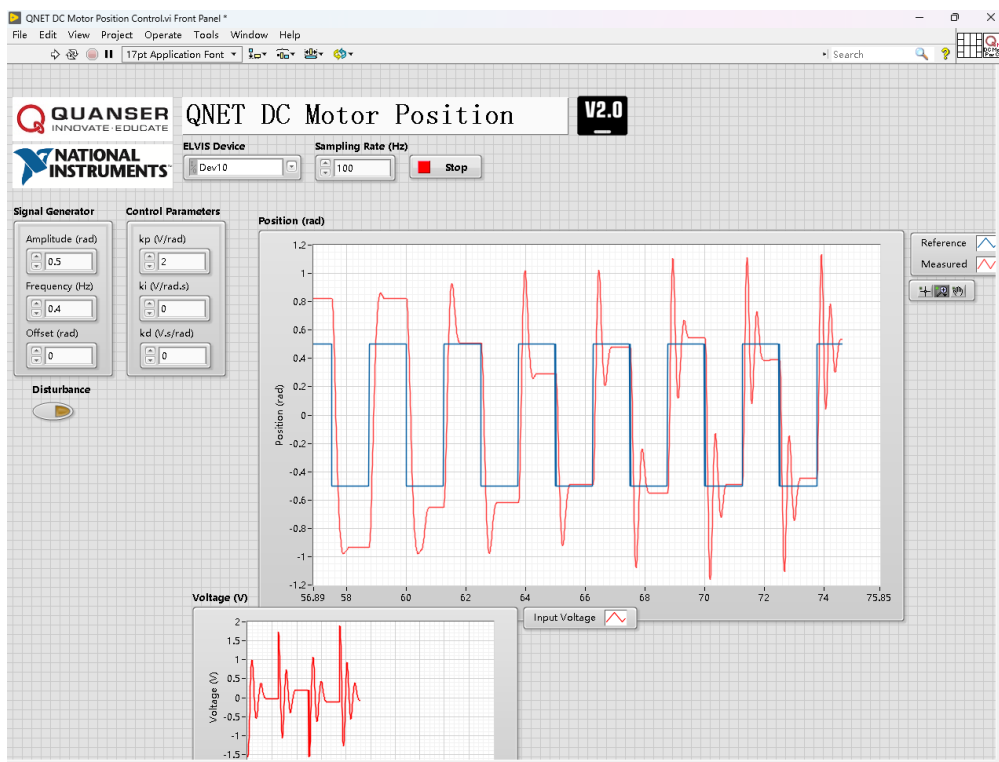




这里有一个问题，增大 $k_p$ 会使得 $\zeta$ 减小，所以这是 $\omega_n$ 增大和 $\zeta$ 减小的共同结果  
具体的分析见3.2章节

改变 $k_p$ ，观察发生了什么

将 $k_p$ 从0.5，按0.25的步长增加到2.0，结果如下

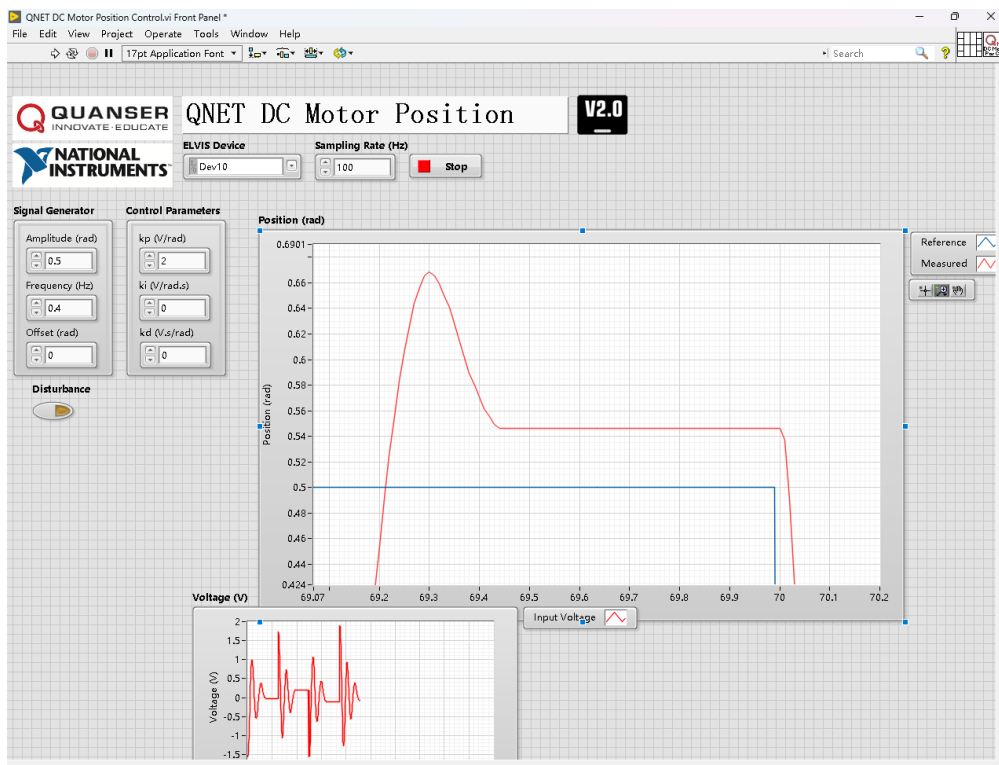


从第一个完整的周期开始， $k_p$ 依次增大；每次增大发生在下半周期，上半周期无影响

可以发现，增大 $k_p$ ，使得系统从过阻尼变化为了欠阻尼，超调量变大，且稳态输出更接近理论值

关于前者，因为 $k_p$ 增大会导致 $\zeta$ 的减小，故系统的响应会变化；关于后者，当 $k_p$ 很小时相当于只有微分控制，这是非因果的，输出有问题

设置 $k_p=1.5\text{V/rad}$ ,  $k_d=0$ , 描述稳态误差



虽然图中的 $k_p$ 是2, 但这是在上面那张图中截的, 所以实际上还是 $k_p = 1.5$

稳态误差为0.045rad, 理论上应该是0, 但是考虑到实验误差, 稳态误差的误差是9%, 还是可以接受的

以0.01Vs/rad的步长增加微分增益 $k_d$ , 解释发生了什么

由于一些原因, 我们的仪器在更改 $k_d$ 后的几个周期内无法稳定输出, 故实验结果的截图并没有, 但是整体的趋势是: 随着 $k_d$ 的增加, 输出减小, 单周期内的振荡也减小

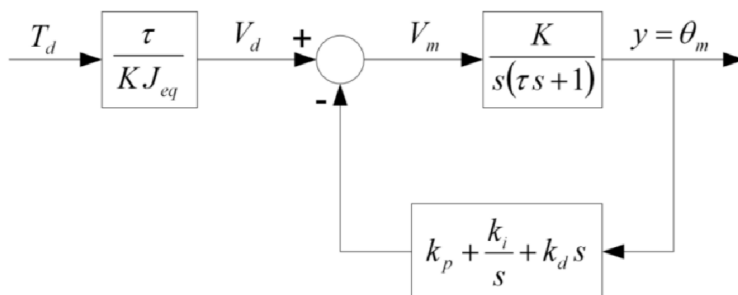
原因是随着 $k_d$ 的增大,  $\zeta$ 增大, 使得系统从欠阻尼向过阻尼靠近, 最大超调量也减小

为什么会多周期不稳定呢? 当 $k_d$ 增大, 微分项的权重变大, 系统更能预测将来的变化, 可能由于输入电压的波动使得电机控制出现波动, 而微分项放大预测这个变化, 但预测错了; 也有可能是哪里接触不良

## 4 跟踪和扰动抑制

### 4.1 公式推导

当存在扰动时的系统框图如下



在无参考输入、存在误差的情况下，即 $U(s) = 0, V_d, T_d \neq 0$ ，系统的传递函数为

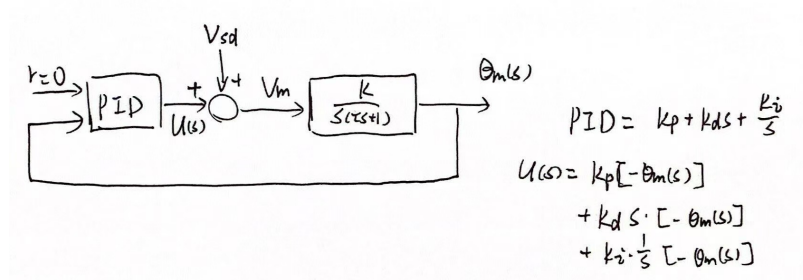
$$H(s) = \frac{\Theta_m(s)}{T_d(s)} = \frac{\tau}{J_{eq}} \cdot \frac{s}{\tau s^3 + (Kk_d + 1)s^2 + Kk_p s + Kk_i} \quad (4-1)$$

当外界扰动近似为阶跃输入，即 $T_d(s) = \frac{A}{s}$ 时，系统的稳态输出为

$$\theta_s(\infty) = \lim_{s \rightarrow 0} s H(s) T_d(s) = 0 \quad (4-2)$$

## 4.2 实验练习

没有参考信号，扰动是模拟扰动电压 $V_{sd}$ ，给出整个系统的框图



此时的闭环传递函数为

$$\frac{\Theta_m(s)}{V_{sd}(s)} = \frac{Ks}{\tau s^3 + (Kk_d + 1)s^2 + Kk_p s + Kk_i}$$

当在 $PID$ 控制下，电机的稳态转角为0，在 $PD$ 控制下，电机的稳态转角为 $\frac{V_{sd0}}{k_p} = 1.5\text{rad}$

解释积分作用下扰动响应差异

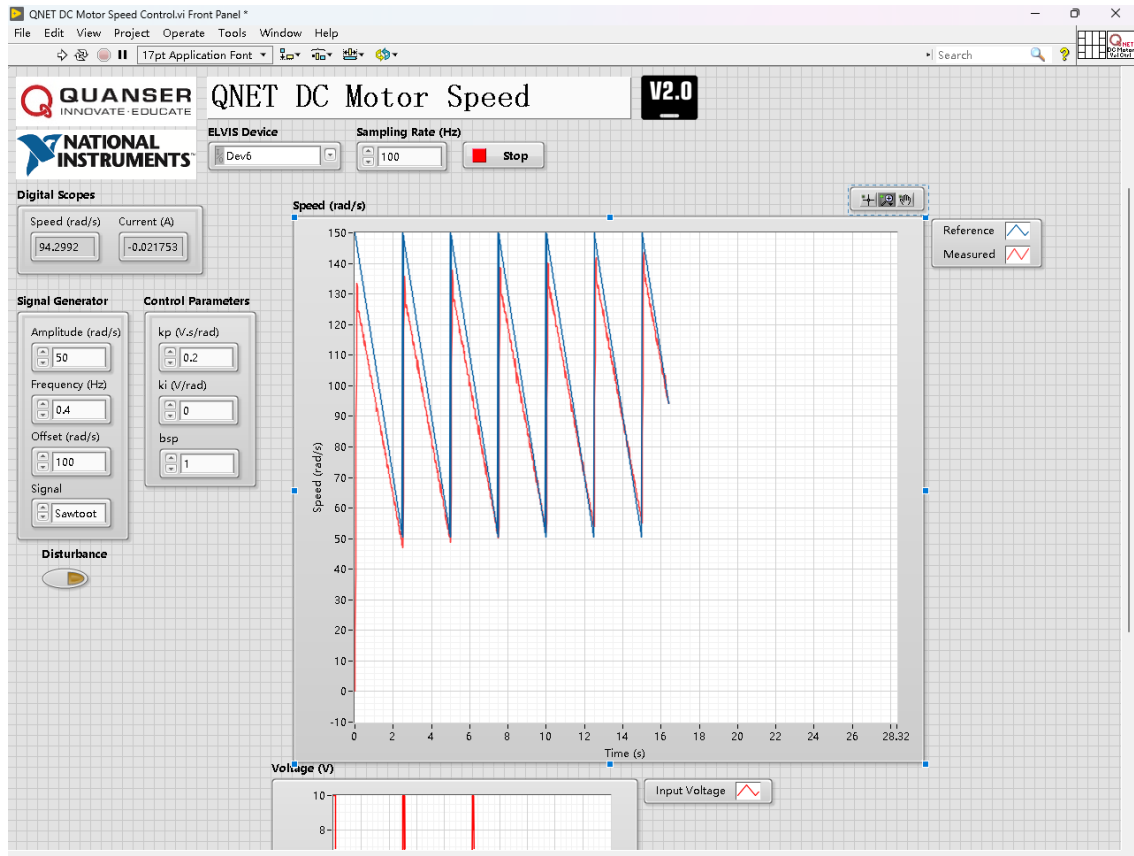
积分器为系统引入了一个 $z = 0$ 的开环零点，消除了主导极点的作用

## 4.3 实验结果

### 2.1 跟踪三角波信号

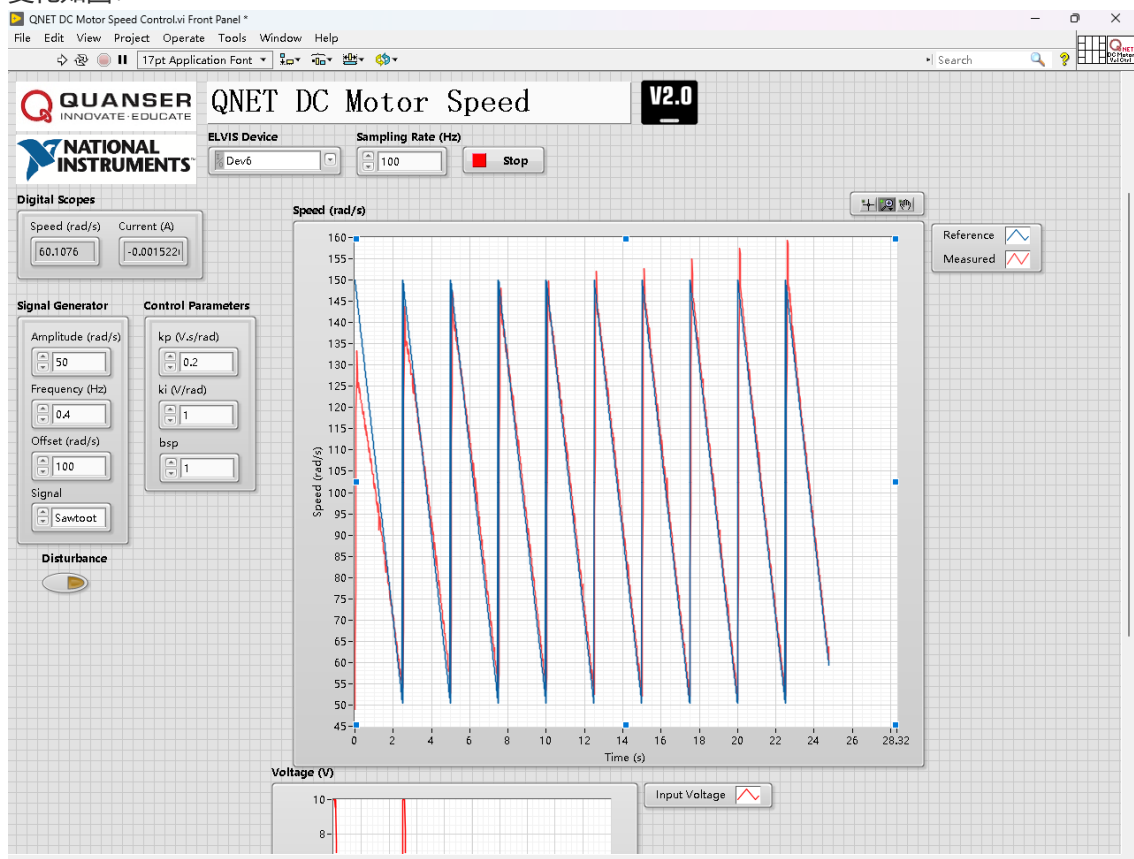
1. 打开QNET DC Motor Speed Control .vi。确保选择了正确的设备 Device
2. 运行VI。电机应该开始旋转
3. 信号发生器 Signal Generator 设置：
  - 幅值Amplitude (rad/s) = 50.0
  - 频率Frequency (Hz) = 0.40
  - 偏移量Offset (rad/s) = 100.0
  - 信号='锯齿波'Signal = 'Sawtooth'
4. 控制参数Control Parameters部分设置：
  - $k_p$  (V.s/rad) = 0.20
  - $k_i$  (V/rad) = 0.00
  - $b_{sp}$  = 1.00

5. 将参考速度和实测速度进行比较。解释一下：为什么会有跟踪误差？



因为 $k_i$ 为0，根据前面的公式推导，系统无法消除扰动引起的稳态误差

6. 增加 $k_i$ 的值，观察响应。 $k_i$ 在0.1 V/rad到1.0V/rad间变化  
变化如图：



7. 增加 $k_i$ 对实测信号的跟踪能力有什么影响？根据示波器中观察到的系统行为给出解释

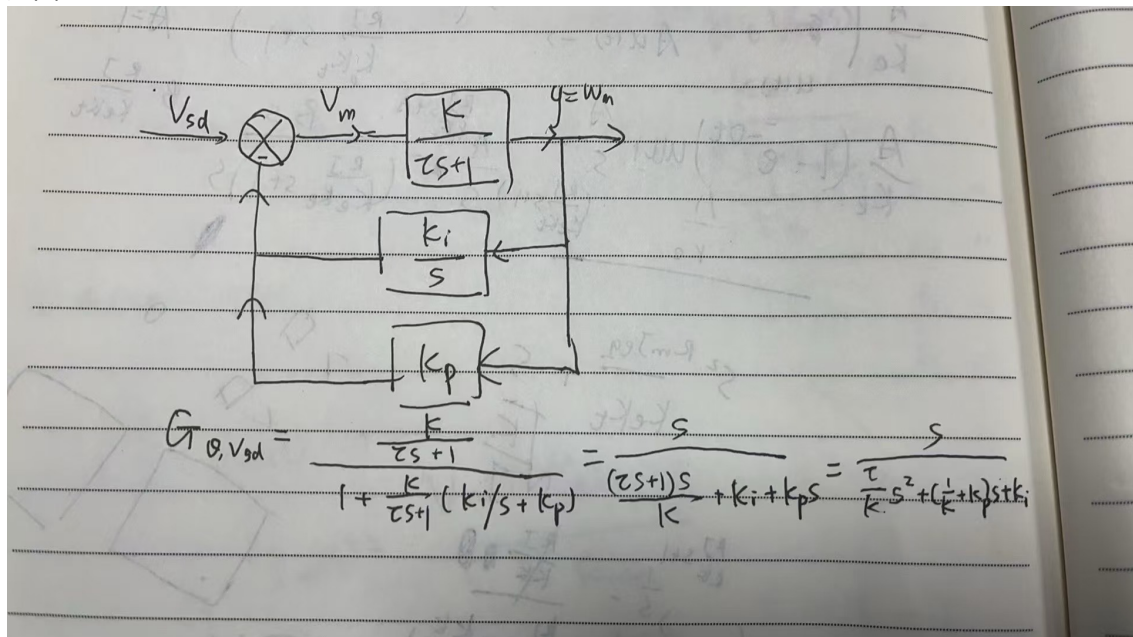
增加 $k_i$ 控制器的积分作用越来越强，稳态误差逐步消除，特别是在高频段，控制器通过积分作用能够有效地补偿误差，确保电机的速度与参考信号的变化更加一致。从示波器的曲线中可以看到系统的跟踪误差逐渐减小。但是随着 $k_i$ 继续增大，会导致系统对误差累计的补偿过度，表现为超调。

8. 点击停止Stop按钮停止运行VI

## 负载扰动选做，本组未做

### 2.2 对负载扰动的响应

- 1.
2. 如图：



3. 求稳态角  
第一个 ( $k_i$ 为0)

$$\frac{\tau A}{2J_{eq} K}$$

$k_i$ 不为0时稳态角为0